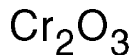


Критическое поведение малых магнитных частиц



А. К. Муртазаев, Х. К. Алиев, И. К. Камилов, К. Ш. Хизриев

Институт физики Дагестанского научного центра РАН,
Россия, 367003, г. Махачкала, ул. 26 Бакинских комиссаров, 94
E-mail: kamilov@physics.sinol.ru

Статья поступила в редакцию 9 декабря 1997 г.

Методом Монте-Карло исследовано критическое поведение малых магнитных частиц реального антиферромагнетика Cr_2O_3 . Рассчитаны критические индексы α , β , γ и соответствующие критические амплитуды для частиц, содержащих от 286 до 2 502 спинов. При этом установлено, что наличие поверхностных спинов расширяет область температур, в которой наблюдается гейзенберговское критическое поведение, и смещает температуру кроссовера к критической точке.

Методом Монте-Карло досліджено критичну поведінку малих магнітних частинок реального антиферомагнетика Cr_2O_3 . Розраховано критичні індекси α , β , γ та відповідні критичні амплітуди для частинок, які містять у собі від 286 до 2 502 спінів. При цьому установлено, що наявність поверхневих спінів розширює область температур, в якій спостерігається гейзенбергівська критична поведінка, та зміщує температуру кросовера до критичної точки.

PACS: 75.40.Cx, 75.40.Mg, 75.50.Ee

Введение

Количественное описание критических явлений в различных решеточных системах до сих пор остается одной из наиболее трудных задач современной теории конденсированного состояния. При этом используются разнообразные методы теоретической физики: метод ренормализационной группы и ϵ -разложение, высоко- и низкотемпературные разложения, метод аппроксимантов Паде и др. [1–3]. Обычно для описания критического поведения решеточных систем, в которых возможен фазовый переход второго рода, используют модели Изинга и Гейзенберга, а также их различные модификации. На основе этих моделей с помощью вышеупомянутых методов получена обширная информация о поведении различных термодинамических величин в широком диапазоне температур и других физических параметров. Интенсивно изучались эти модели и методами Монте-Карло (МК) [4,5]. Исследования выполнены на решетках различного типа и пространственной размерности, а также при варьировании большого

количества различных параметров с одновременным получением значительного объема сопутствующей информации. В последние годы методами МК успешно исследуется и критическая область с вычислением значений критических индексов (КИ) и критических амплитуд (КА) с достаточно хорошей точностью [6–8].

При этом до сих пор в основном изучались простые ферромагнитные модели с взаимодействием между ближайшими соседями [4]. Значительно менее полно исследованы реальные антиферромагнитные системы с учетом конкретной кристаллографической структуры и при наличии слабых релятивистских взаимодействий различного типа.

Метод расчета и полученные результаты

В настоящей работе методом МК исследованы малые магнитные частицы реального антиферромагнетика Cr_2O_3 с ромбодрической решеткой. При этом все кристаллографические, обменные и другие величины соответствуют

реальным образцам Cr_2O_3 и получены из экспериментальных исследований.

Гамильтониан системы может быть представлен в следующем виде [9]:

$$H = -\frac{1}{2} \sum_{i,j} J_1(\mu_i \mu_j) - \frac{1}{2} \sum_{k,l} J_2(\mu_k \mu_l) - D_0 \sum_i (\mu_i^z)^2, \quad (1)$$

$$|\mu_i| = 1.$$

Здесь μ_i — единичные векторы с непрерывными ориентациями, согласно данным по рассеянию нейтронов и теории спиновых волн в [10]; J_1 — параметр взаимодействия каждого спина с одним ближайшим соседом на расстоянии $r_{ij} = 2,65 \text{ \AA}$, а J_2 — с тремя следующими соседями на расстоянии $r_{ij} = 2,89 \text{ \AA}$ ($J_2 = 0,45J_1$, $J_1 < 0$, $J_2 < 0$). Константы взаимодействия с более далекими соседями значительно меньше, и они не учитываются. Ось Z совпадает с направлением пространственной диагонали ромбоэдрической ячейки [1,1,1]. Релятивистские взаимодействия различного рода аппроксимировались эффективной одноионной анизотропией $D_0 > 0$. Соотношение между анизотропией и обменом полагалось равным $D_0/J_1 = 0,025$ [11].

Расчеты проводились для частиц сферической формы с диаметрами $d = 24,0; 28,4; 32,8; 34,8; 41,82; 46,4; 48,64 \text{ \AA}$, число спинов в частицах N равнялось соответственно 286; 508; 760; 908; 1 602; 2 170; 2 502. При этом на ЭВМ генерировались марковские цепи длиной от $2 \cdot 10^4$ до 10^5 МКшаг/спин. Для приведения системы в равновесное состояние отсекался неравновесный участок, состоящий из $5 \cdot 10^3$ – $2 \cdot 10^4$ МКшаг/спин (в зависимости от близости к критической области).

Обычно при исследовании критических явлений методами МК стараются уменьшить степень влияния поверхности, и на систему накладываются различные периодические граничные условия [4]. В нашем исследовании рассматриваются системы с открытыми поверхностями, так как вопросы, связанные с критическими явлениями в малых частицах [12], и зависимость КИ и КА от наличия определенной доли поверхностных спинов, находящихся в несколько иных условиях, чем объемные, представляют и определенный самостоятельный интерес [13]. Для изучаемых частиц доля поверхностных спинов изменялась от 46,8% для самой маленькой частицы до 22,8% для частицы с $N = 2 502$. Поскольку общее количество поверхностных спинов в частицах достаточно велико, их влияние на различные

термодинамические параметры должно быть существенным.

Обычный гамильтониан изотропной модели Гейзенберга тщательно исследован различными методами, и значения критических индексов и амплитуд вычислены с хорошей точностью [14]. Для Cr_2O_3 имеются и результаты экспериментальных исследований критического поведения теплоемкости. При этом у разных авторов и по данным, полученным при измерении теплоемкости различными методами, критический индекс α варьируется от 0,14 до $-0,12$ [15].

Для наблюдения за температурным ходом теплоемкости и восприимчивости нами использовались выражения [7]

$$C = (NK^2)(\langle U^2 \rangle - \langle U \rangle^2), \quad (2)$$

$$\chi = (NK)(\langle m^2 \rangle - \langle m \rangle^2), \quad (3)$$

где $K = |J_1|/k_B T$; U — внутренняя энергия; m — подрешеточная намагниченность.

Температурные зависимости C и χ имеют хорошо выраженные максимумы в критической области. Известно, что T_N для малых систем смещается в сторону более низких температур по сравнению с «макросистемами». В наших экспериментах также наблюдается четко

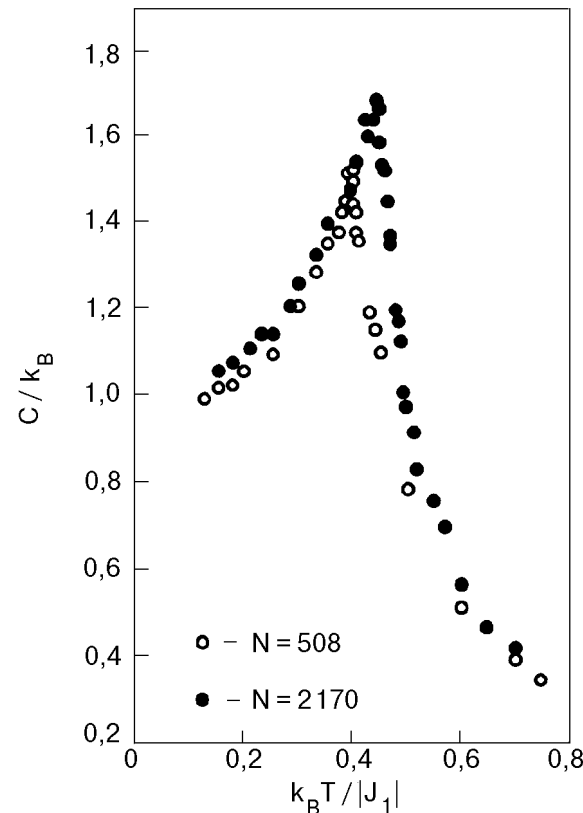


Рис. 1. Зависимость теплоемкости C/k_B от температуры $k_B T / |J_1|$.

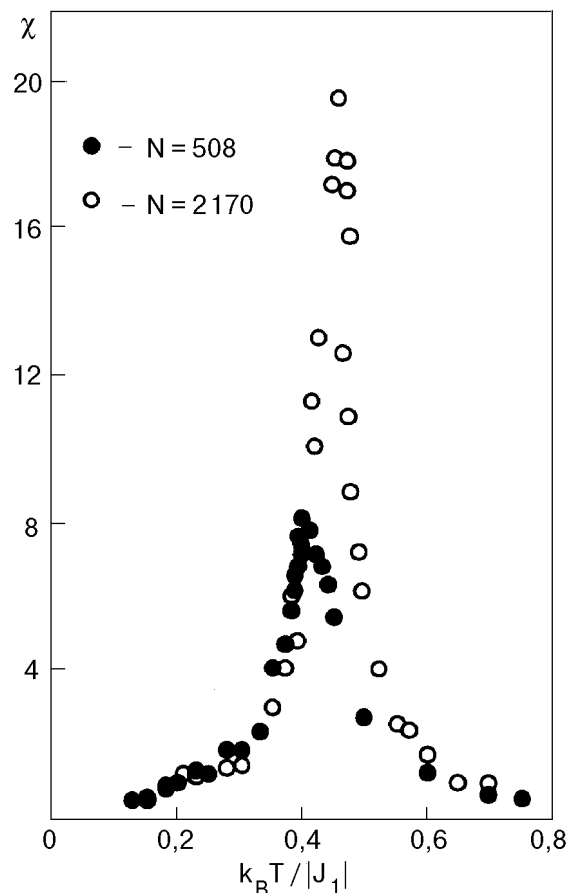


Рис. 2. Зависимость восприимчивости χ от температуры $k_B T / |J_1|$.

выраженное смещение максимумов C и χ с изменением N (рис. 1, 2). На рис. 3 представлены данные о зависимостях критических температур T_c^C и T_c^χ от радиуса частиц R , которые определялись по максимумам теплоемкости C и восприимчивости χ . Как видно на рис. 3, с увеличением размера частиц температуры, соответствующие пикам теплоемкости и восприимчивости, смещаются в сторону более высоких, т.е. температура «фазового перехода» возрастает.

Для аппроксимации критического поведения теплоемкости использовалось выражение [16]

$$C = \left[\frac{A}{\alpha} (|t|^{-\alpha} - 1) + D|t|^x \right] + B + Et, \quad (4)$$

где для нашего гамильтониана остаются только члены, находящиеся в квадратных скобках. В этом выражении $t = (T - T_N)/T_N$; α , A , D – соответственно критический индекс теплоемкости, критическая амплитуда и амплитуда коррекции к скейлингу. Эти же величины со штрихами относятся к случаю $T < T_N$. Значение x полагалось равным 0,55 [14]. Обработка МК данных проводилась с

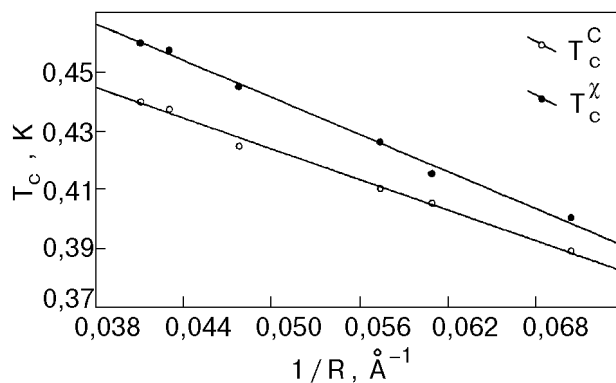


Рис. 3. Зависимость критической температуры от радиуса частицы.

использованием нелинейного метода наименьших квадратов. В качестве оптимальных α , A , D принимались значения, минимизирующие среднеквадратичное отклонение. В качестве T_N при использовании выражения (4) брались значения, соответствующие максимумам теплоемкости.

Полученные данные для α и A представлены в табл. 1. Все α при $T > T_N$ имеют отрицательный знак, характерный для гейзенберговского критического поведения, и практически не зависят от размера частиц. Абсолютные значения α несколько меньше, чем теоретическое $\alpha = -0,126(28)$, полученное для изотропной модели Гейзенберга с короткодействующими силами [14]. Значения A' для $T < T_N$ рассчитаны при обработке данных в предположении, что $\alpha' = \alpha$, согласно предсказаниям статического скейлинга [1–3]. Соотношения между критическими амплитудами A и A' , определенные по указанной схеме, для всех частиц находятся в области $0,95 \leq A/A' \leq 1,10$. Большинство лабораторных исследований теплоемкости Sr_2O_3 [15, 17] показывают, что $\alpha < 0$, но абсолютное значение варьируется в широких пределах в зависимости от интервала изменения t , выбора T_N и некоторых других параметров.

Таблица 1

Данные КИ α и КА A для частиц с разным числом спинов N . Значения A' получены в предположении $\alpha' = \alpha$

N	α	A	A'	α'	A	A'
	$5 \cdot 10^{-3} \leq t \leq 7,5 \cdot 10^{-1}$				$2,5 \cdot 10^{-2} \leq t \leq 7,5 \cdot 10^{-1}$	
286	-0,20(3)	0,61	0,61	-0,19(3)	0,60	0,59
508	-0,18	0,57	0,55	-0,17	0,56	0,56
760	-0,20	0,67	0,67	-0,20	0,65	0,66
908	-0,17	0,57	0,58	-0,16	0,55	0,57
1 602	-0,19	0,66	0,60	-0,19	0,64	0,59

2 170	-0,17	0,61	0,64	-0,17	0,60	0,63
2 502	-0,21	0,63	0,68	-0,20	0,62	0,67

Следует отметить, что, поскольку в гамильтониане (1) имеется член, описывающий одноионную анизотропию, в критическом поведении Cr_2O_3 должен наблюдаться кроссовер от гейзенберговского к изинговскому [2,18]. При наших расчетах температура кроссовера составляет $t_{\text{cr}} \approx 0,052$, но значения α , полученные в диапазоне температур $5 \cdot 10^{-3} \leq t \leq 7,5 \cdot 10^{-1}$, не указывают на наличие кроссовера. Возможно, это связано с тем, что поверхностные спины в частицах Cr_2O_3 , как было установлено ранее [9], даже при температурах значительно ниже T_N свободно переориентируются. Такое их поведение расширяет область с гейзенберговским критическим поведением и приводит к смещению температуры кроссовера t_{cr} к точке Нееля. Следовательно, рассмотренная в настоящей работе область приведенных температур может целиком соответствовать гейзенберговскому критическому поведению.

Полученные нами несколько меньшие значения α , чем предсказывает теория [14] и лабораторные эксперименты [15,17], по-видимому, также связаны с наличием значительной доли (22,8%–46,8%) слабо закрепленных поверхностных спинов. Отметим, что при обработке данных в низкотемпературной фазе $T < T_N$ без учета скейлинговского предположения $\alpha' = \alpha$ в рассмотренных температурных интервалах для

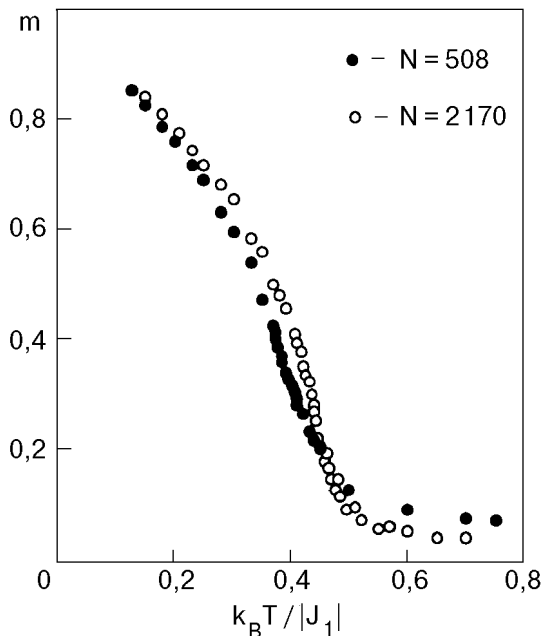


Рис. 4. Зависимость подрешеточной намагниченности m от температуры $k_B T / |J_1|$.

всех частиц $\alpha' \approx 0,03(3)$. Величина отношения A к A' находится при этом в интервале $2,0 \leq A/A' \leq 5,0$.

Для более подробного выяснения закономерности критического поведения частицы следует рассмотреть зависимости подрешеточной намагниченности и восприимчивости от температуры. Сразу заметим, что эти величины являются неудобными для исследования методом МК, так как вблизи T_N намагниченность m имеет высокотемпературные «хвосты», а χ является сильно флуктуирующей величиной.

Температурные зависимости подрешеточной намагниченности для двух частиц с $N = 508$ и 2 170 показаны на рис. 4. Отметим характерные для МК результатов высокотемпературные «хвосты» намагниченности, которые с увеличением N заметно уменьшаются.

Для аппроксимации критического поведения m использовалось выражение

$$m = B|t|^\beta (1 + a_m |t|), \quad (5)$$

где B , a_m — критическая амплитуда и амплитуда коррекции к скейлингу.

Таблица 2

Эффективные значения критического индекса β . Для всех рассмотренных интервалов температур $t_{\min} \leq t \leq t_{\max}$, $t_{\max} = 0,75$

N	β						
	$t_{\min}, a_m = 0$			$t_{\min}, a_m \neq 0$			
	$5 \cdot 10^{-3}$	$1 \cdot 10^{-2}$	$3 \cdot 10^{-2}$	$8 \cdot 10^{-2}$	$1 \cdot 10^{-2}$	$3 \cdot 10^{-2}$	$8 \cdot 10^{-2}$
286	0,18	0,21	0,26	0,31	—	—	—
508	0,22	0,25	0,29	0,32	0,23	0,28	0,34
760	0,25	0,27	0,30	0,33	0,25	0,30	0,36
908	0,25	0,31	0,32	0,36	0,26	0,31	0,38
1 602	0,29	0,31	0,33	0,36	0,28	0,32	0,38
2 170	0,33	0,37	0,39	0,41	0,30	0,35	0,39
2 502	0,33	0,37	0,40	0,43	0,30	0,34	0,40

В табл. 2 представлены данные для β при $a_m = 0$ в некотором диапазоне температур $t_{\min} \leq t \leq t_{\max}$. Отметим, что β , в отличие от других рассмотренных нами критических индексов (α и γ), зависит от числа спинов в частице: абсолютная величина β растет с увеличением N . Для β наблюдается еще одна закономерность: с увеличением t_{\min} значения β также увеличиваются. По-видимому, эти особенности связаны с эффектами ближнего порядка, о которых красноречиво

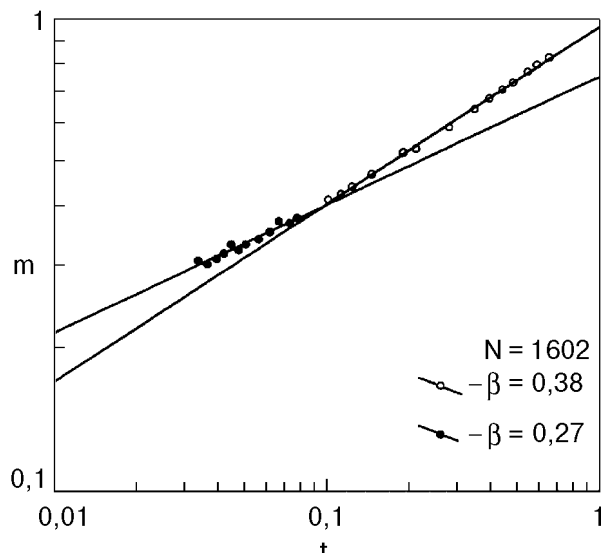


Рис. 5. Двойная логарифмическая зависимость подрешеточной намагниченности m от приведенной температуры t .

свидетельствуют высокотемпературные «хвосты» намагниченности, изображенные на рис. 4. В зависимостях m от t , представленных в двойном логарифмическом масштабе, можно отметить некоторый излом при $t_B = 0,08$. На рис. 5 показана характерная картина с двумя значениями $\beta \approx 0,27$ при $t \leq t_B$ и $\beta \approx 0,38$ при $t > t_B$ для частицы с $N = 1\,602$. Возможно, эти данные свидетельствуют о наличии кроссовера от гейзенберговского поведения с $\beta \approx 0,38$ (для модели Гейзенберга $\beta = 0,367$ [14]) к изинговскому с $\beta \approx 0,27$ (для модели Изинга $\beta = 0,326$ [14]), что не наблюдалось в поведении теплоемкости.

Характерные данные для восприимчивости, определенные по соотношению (3), показаны на рис. 2. Для обработки этих результатов использовалась простая степенная зависимость χ от t :

$$\chi = \Gamma |t|^{-\gamma}, \quad (6)$$

где γ — критические индексы и амплитуда восприимчивости. В табл. 3 представлены величины γ , полученные с использованием выражения (6).

Таблица 3

Эффективные значения критических индексов γ и γ' . Для всех рассмотренных интервалов температур $t_{\max} = 0,75$

N	γ		γ'	
	t_{\min}			
	$4 \cdot 10^{-2}$	$8 \cdot 10^{-2}$	$1 \cdot 10^{-1}$	$4 \cdot 10^{-2}$
508	0,96(3)	1,14(3)	1,22(3)	0,90(3)
760	0,94	1,15	1,20	0,93
908	1,02	1,14	1,18	0,91
1 602	1,01	1,15	1,19	0,90
2 170	1,00	1,13	1,20	0,95
2 502	0,98	1,13	1,22	0,96
				1,18
				1,29

508	0,96(3)	1,14(3)	1,22(3)	0,90(3)	1,15(3)	1,33(3)
760	0,94	1,15	1,20	0,93	1,14	1,30
908	1,02	1,14	1,18	0,91	1,22	1,31
1 602	1,01	1,15	1,19	0,90	1,21	1,30
2 170	1,00	1,13	1,20	0,95	1,20	1,28
2 502	0,98	1,13	1,22	0,96	1,18	1,29

Значения критических индексов γ и γ' находили независимо при температурах выше и ниже T_N , которую определяли по максимуму зависимости χ от температуры. Критические индексы γ и γ' так же, как и α , не зависят от числа спинов в частице, но сильно зависят от t_{\min} : увеличиваются с ростом t_{\min} . Причем по абсолютным значениям γ и γ' нельзя сделать вывод о характере критического поведения восприимчивости как об изинговском ($\gamma = 1,24$ [14]) или гейзенберговском ($\gamma = 1,39$ [14]). В заключение отметим, что при обработке всех данных использовались те же температурные интервалы и различные значения $T'_N = T_N \pm \Delta T$, где ΔT варьировалась в пределах от 1,5 до 2,5% T_N , все величины α , A , A' , γ , γ' изменялись лишь в пределах погрешности. Данные для β изменялись в большей степени, и с ростом T_N значения β увеличивались, а с уменьшением T_N уменьшались, что мы опять связываем с тем, что подрешеточная намагниченность сильнее других величин зависит от эффектов ближнего порядка и наличия свободной поверхности.

Заключение

Критическое поведение теплоемкости малых частиц Cr_2O_3 имеет гейзенберговский характер и не обнаруживает кроссовер к изинговскому сценарию. По данным о восприимчивости трудно судить о характере критического поведения. Отметим, что α и γ в одном и том же температурном интервале в пределах погрешности не зависят от числа спинов в частице, а индекс β довольно сильно зависит от N и обнаруживает тенденцию к росту при увеличении N . В критическом поведении подрешеточной намагниченности m обнаруживаются кроссоверные явления, характерные для перехода от гейзенберговского критического поведения к изинговскому. Повидимому, некоторые отличия значений критических индексов от теоретических [14] и экспериментальных [15, 17] связаны в основном с присутствием большой доли слабо закрепленных поверхностных спинов, а характер поведения m и β , кроме того, определяется еще присущими

методу МК особенностями при такого рода исследованиях.

1. А. З. Паташинский, В. Л. Покровский, *Флуктуационная теория фазовых переходов*, Наука, Москва (1982).
2. Ш. Ма, *Современная теория критических явлений*, Мир, Москва (1980).
3. Г. Стенли, *Фазовые переходы и критические явления*, Мир, Москва (1973).
4. К. Биндер, *Методы Монте-Карло в статистической физике*, Мир, Москва (1982).
5. К. Биндер, Д. В. Хеерман, *Моделирование методом Монте-Карло в статистической физике*, Наука, Москва (1995).
6. P. Peczak and D. P. Landau, *Phys. Rev.* **B43**, 1048 (1991).
7. P. Peczak and D. P. Landau, *Phys. Rev.* **B43**, 6087 (1991).
8. P. Peczak and D. P. Landau, *Phys. Rev.* **B47**, 14260 (1993).
9. А. К. Муртазаев, И. А. Фаворский, *ФНТ* **19**, 160 (1993).
10. E. J. Samuelson, M. T. Hutchings, and G. Shirane, *Physica* **48**, 13 (1970).
11. J. O. Altman, J. C. Murphy, and S. Fones, *Phys. Rev.* **138A**, 912 (1965).
12. Ю. И. Петров, *Физика малых частиц*, Наука, Москва (1982).
13. K. Binder and P. C. Hohenberg, *Phys. Rev.* **B9**, 2194 (1974).
14. J. C. Le Guilio and J. Zinn-Justin, *J. Phys. Lett.* **45**, L137 (1985).
15. M. Marinelli, F. Mercuri, U. Zammit, R. Pizzoferrato, F. Scudieri, and D. Dadarlat, *Phys. Rev.* **B49**, 9523 (1994).
16. G. Bednarz, D. J. W. Geldart, and M. A. White, *Phys. Rev.* **B47**, 14247 (1993).
17. R. H. Bruce and D. S. Cannel, *Phys. Rev.* **B15**, 4451 (1997).
18. И. К. Камилов, Х. К. Алиев, *Статические критические явления в магнитоупорядоченных кристаллах*, Изд-во ДНИЦ РАН, Махачкала (1993).

Critical behavior of small magnetic particles of Cr_2O_3

A. K. Murtazaev, Kh. K. Aliev,
I. K. Kamilov, and K. Sh. Khizriev

The critical behavior of small magnetic particles of real antiferromagnet Cr_2O_3 is investigated by the Monte-Carlo method. Critical exponents α , β , γ , and appropriate critical amplitudes are calculated for particles containing from 286 up to 2 502 spins. The existence of superficial spins expands the temperature range with the Heisenberg critical behavior and displaces the crossover temperature to the critical one.